

Препр
М - 73

Морской гидрофизический институт НАН Украины

Институт биологии южных морей НАН Украины

Препринт

Маньковский В.И., Владимиров В.Л., Афонин Е.И., Мишонов А.В.,
Соловьев М.В., Аннинский Б.Е., Георгиева Л.В., Юнев О.А.

**МНОГОЛЕТНЯЯ ИЗМЕНЧИВОСТЬ ПРОЗРАЧНОСТИ ВОДЫ В
ЧЕРНОМ МОРЕ И ФАКТОРЫ, ОБУСЛОВИВШИЕ ЕЕ СИЛЬНОЕ
СНИЖЕНИЕ В КОНЦЕ 80-Х НАЧАЛЕ 90-Х ГОДОВ**

Севастополь
1996 г

Морской гидрофизический институт НАН Украины

Институт биологии южных морей НАН Украины

Препринт

Маньковский В.И., Владимиров В.Л., Афонин Е.И., Мишонов А.В.,
Соловьев М.В., Аннинский Б.Е., Георгиева Л.В., Юнев О.А.

МНОГОЛЕТНЯЯ ИЗМЕНЧИВОСТЬ ПРОЗРАЧНОСТИ ВОДЫ В
ЧЕРНОМ МОРЕ И ФАКТОРЫ, ОБУСЛОВИВШИЕ ЕЕ СИЛЬНОЕ
СНИЖЕНИЕ В КОНЦЕ 80-Х НАЧАЛЕ 90-Х ГОДОВ

Препр.
М-73
Маньковский В.И.
Многолет. изменчив.
программа изучения
воды ...
Сев. 1996.

Севастополь
1996 г

БИБЛИОТЕКА
МОРСКОГО ГИДРОФИЗИЧЕСКОГО
ИНСТИТУТА НАН УССР
Инв. №

УДК 551.463.5.

Многолетняя изменчивость прозрачности воды в Черном море и факторы, обусловившие ее сильное снижение в конце 80-х начале 90-х годов / Маньковский В.И., Владимиров В.Л., Афонин Е.И., Мишонов А.В., Соловьев М.В., Аннинский Б.Е., Георгиева Л.В., Юнев О.А. - Севастополь, 1996. - 32 с. - (Препр./НАН Украины. Мор.гидрофиз. ин-т).

Проанализирован 72-х летний (1923-1995 гг) ряд наблюдений прозрачности воды в Черном море, определяющейся с помощью измерений глубины видимости белого диска.

В глубоководной области моря прозрачность воды (среднегодовое значение Z_d) подвержена значительной многолетней изменчивости - в рассматриваемый период она изменялась от 21,3 до 6,2 м, т.е. более чем в три раза. Наибольшая межгодовая изменчивость Z_d наблюдалась с 1986 по 1995 год, когда ее величина уменьшилась от 16 м в 1986 г до 6,2 м в 1992 г и снова увеличилась до 17,7 м в 1995 г.

Выявлено, что на многолетнюю изменчивость прозрачности воды в глубоководной области моря в этот период влияли: циклическое изменение солнечной активности (11-ти летние циклы), антропогенная эвтрофикация вод, вселение в море гребневика *Mnemiopsis*.

В период сильного снижения прозрачности воды (конец 80-х начало 90-х годов) в море отмечено резкое изменение состояния фитоцена, выразившееся в массовом развитии микроводорослей, основную часть которых составляли кокколитофориды.

На изменение состояния фитоцена большое влияние оказал гребневик *Mnemiopsis*, появившийся в море в начале 80-х годов и быстро размножившийся в огромных количествах.

Модельные оценки оптических характеристик вод моря с учетом массового развития кокколитофорид показали, что наблюдавшиеся в конце 80-х начале 90-х годов изменения прозрачности морской воды могут быть объяснены имевшим место изменениями в численном и видовом составе фитопланктона.

Табл. 8. Рис. 14. Библиогр.: с.29 (45 назв.)

Рецензент кандидат физ.-мат. наук
М.Е. Ли

Утверждено к печати НИСО МГИ НАН Украины

© Морской гидрофизический институт НАН Украины, 1996.

© Маньковский В.И., Владимиров В.Л., Афонин Е.И.,
Мишонов А.В., Соловьев М.В.,
Аннинский Б.Е., Георгиева Л.В., Юнев О.А.

Содержание

Введение	4
1. Многолетняя изменчивость прозрачности воды	4
2. Многолетняя динамика численности фитопланктона	10
3. Факторы, обусловившие рост численности фитопланктона в Черном море в 80-е годы	17
4. Модельные оценки показателей прозрачности воды в Черном море при массовом развитии кокколитофорид	20
5. Результаты расчетов	25
Заключение	28
Литература	29
Abstract	32

рез три года, а затем быстро спадает. При сдвиге величин Z_d относительно N_w на два года уравнение регрессии имеет вид:

$$Z_{d(1\text{-}2)} = 14,6 + 0,0259 \cdot N_w \quad (1)$$

Коэффициент корреляции $r = 0,447 \pm 0,141$, среднеквадратическая ошибка регрессии $\sigma_{Z_d} = 1,7$ м. Степень корреляции повышается, если сопоставлять средние за два года величины Z_d и N_w при том же двухлетнем сдвиге Z_d вперед относительно N_w , тогда:

$$\langle Z_d \rangle_{(1\text{-}2)} = 14,2 + 0,035 \cdot N_w \quad (2)$$

Коэффициент корреляции $r = 0,610 \pm 0,120$, среднеквадратическая ошибка регрессии $\sigma_{Z_d} = 1,2$ м.

На рис. 4 а) и б) показан временной ход реальных величин Z_d и рассчитанных по уравнениям (1) и (2). Видно, что регрессионные кривые, неплохо отображают реальный ход среднегодовых величин прозрачности воды.

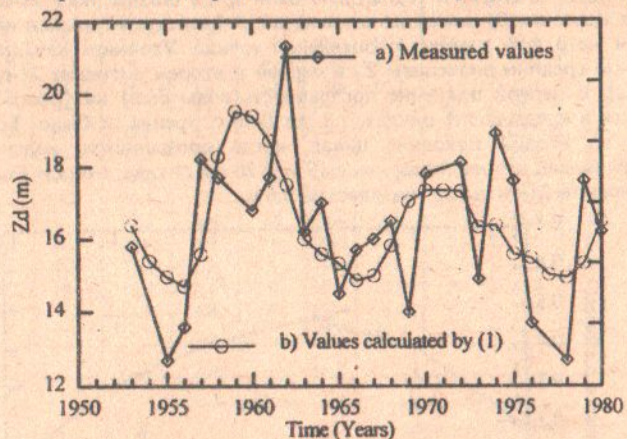


Рис. 4 а). Временной ход среднегодовых измеренных величин Z_d - а) и рассчитанных по уравнению регрессии (1) - б). Сдвиг Z_d относительно N_w - на два года вперед.

С учетом такой временной связи прозрачности воды с солнечной активностью становится понятной, приведенная на рис. 2, закономерность изменения в течение солнечного цикла средних за половину цикла величин Z_d . Они отражают не средние величины солнечной активности в первой и второй половинах данного цикла, которые в каждом цикле примерно равны, а средние за 5-6 лет величины N_w со сдвигом назад на 2-3 года. В таком случае, как видно из рис. 2, в первой половине цикла пониженными величинами Z_d соответствуют и пониженные величины N_w , а во второй половине цикла соответственно повышенными Z_d также повышенные N_w .

Однинадцатилетняя цикличность в изменении прозрачности воды, по-видимому, свидетельствует о существовании такой же цикличности в многолетней динамике фитопланктона в открытых районах моря, поскольку там он является главным фактором, обуславливающим изменчивость прозрач-

ностию фитопланктона в открытых районах, чтобы ответить на этот вопрос непосредственно, но в связи с ним укажем на работу [42], в которой установлена связь с одиннадцатилетними циклами солнечной активности среднегодовой биомассы и видового состава фитопланктона в шельфовой зоне Болгарского побережья (период наблюдения 1954-1990 гг). Каков механизм влияния солнечной активности на процессы развития фитопланктона в работе [42] не обсуждается. Мы тоже пока не имеем по этому вопросу надлежащей информации и можем высказать лишь предположения. Возможно, что это влияние изменчивости стока рек и гидрологического режима моря. Например, в [17] установлено, что в стоке Дуная, а это примерно 2/3 стока всех рек в море, имеется 11-летняя цикличность. Может быть также влияние метеоусловий - таких как средняя скорость ветра и число штормовых дней, с которыми связаны процессы вертикального обмена в поверхностных слоях и вынос биогенов в эфотическую зону. Наконец, это может быть непосредственная реакция фитоцена с некоторой инерцией во времени на изменение солнечной активности. Вопрос этот остается открытым, но ясно, что при изучении многолетней изменчивости состояния фитоцена и прозрачности воды в Черном море влияние цикличного изменения солнечной активности следует учитывать. Особый интерес при этом представляет отставание по фазе на несколько лет максимальной реакции биооптической системы моря на изменение солнечной активности, что дает возможность для многолетнего прогнозирования ее состояния.

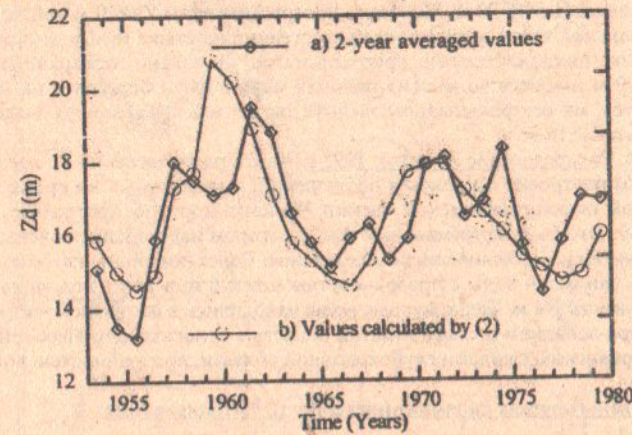


Рис. 4 б). Временной ход средних за два года величин Z_d , - а), и рассчитанных по уравнению регрессии (2) - б).

1.2. Показатель ослабления света. Количество данных измерений показателя ослабления света недостаточно для расчета его среднегодовых величин. Для сравнения с многолетней динамикой Z_d взяты значения Σ в летне-осенний период июнь - октябрь. В таблице 3 приведены средние значения Σ в поверхностном однородном слое моря для относительно стабильного периода 1977-1980 гг, предшествовавшего периоду резкого снижения прозрачности воды, и в годы с ее необычно низкими значениями - 1990, 1991, 1992.

Результаты сравнения показывают, что характер многолетней и межгодовой изменчивости Σ и Z_d , как и следовало ожидать, одинаков и количественно изменения обоих показателей прозрачности воды близки. Так, отношение средних величин Σ в 1977-1980 гг и в 1990-1992 гг составило 2,15, а величин $1/Z_d$ - 2,36.

1.3. Климатическое распределение Z_d . При расчете климатического распределения Z_d в море мы ограничились периодом наблюдений до 1980 г, в течение которого, как было установлено, тренда не наблюдалось. Исходя из обеспеченности наблюдениями и учитывая сезонный ход величин Z_d , для построения климатического поля взят внутригодовой период с июня по октябрь; на него приходится около 90 % всех наблюдений,

Таблица 3
Показатель ослабления света Σ (410-420 нм), m^{-1} в поверхности однородном слое глубоководной области моря в летний сезон

Годы	Среднее	Макс.	Мин.	СКО
1977-1985	0.55	1.38	0.23	0.32
1990	1.17	1.86	0.78	0.23
1991	1.03	2.16	0.69	0.21
1992	1.70	2.76	0.55	0.60

а относительные изменения среднемесячных величин (рис.1) в это время невелики - менее 15%. Массив данных наблюдений составил 1640 единиц, что позволило получить достаточную статистическую обеспеченность поля средних величин по всему морю.

Климатическое поле прозрачности воды (рис. 5) имеет следующие особенности. Большая часть глубоководной области (около 80%) занята водами с прозрачностью 16-20 м. Наиболее прозрачные воды $Z_d > 20$ м наблюдаются в центральной части моря в зоне конвергенции на стыке между восточным и западным циклоническими круговоротами. Довольно прозрачные воды $Z_d = 15-20$ м имеются во многих районах моря вблизи берегов и на шельфе. Например, на северо-западном шельфе около мыса Тарханкут выделяется область с $Z_d > 16$ м.

1.4. Распределение Z_d летом 1992 г. Карта распределения Z_d летом 1992 г (рис. 6) построена по данным наблюдений, выполненных во время международной океанографической съемки Черного моря по программе CoMS-Black -92. Это был экстремальный год, в котором наблюдались очень низкие величины Z_d и необычное их распределение. Более половины глубоководной области занимали воды с прозрачностью менее 6 м, а треть вод здесь имели прозрачность 2-4 м. Такие мутные воды находились в восточной части моря. На северо-западном шельфе заметна область с относительно высокой (до 10 м), по сравнению с водами глубоководной области, прозрачностью воды.

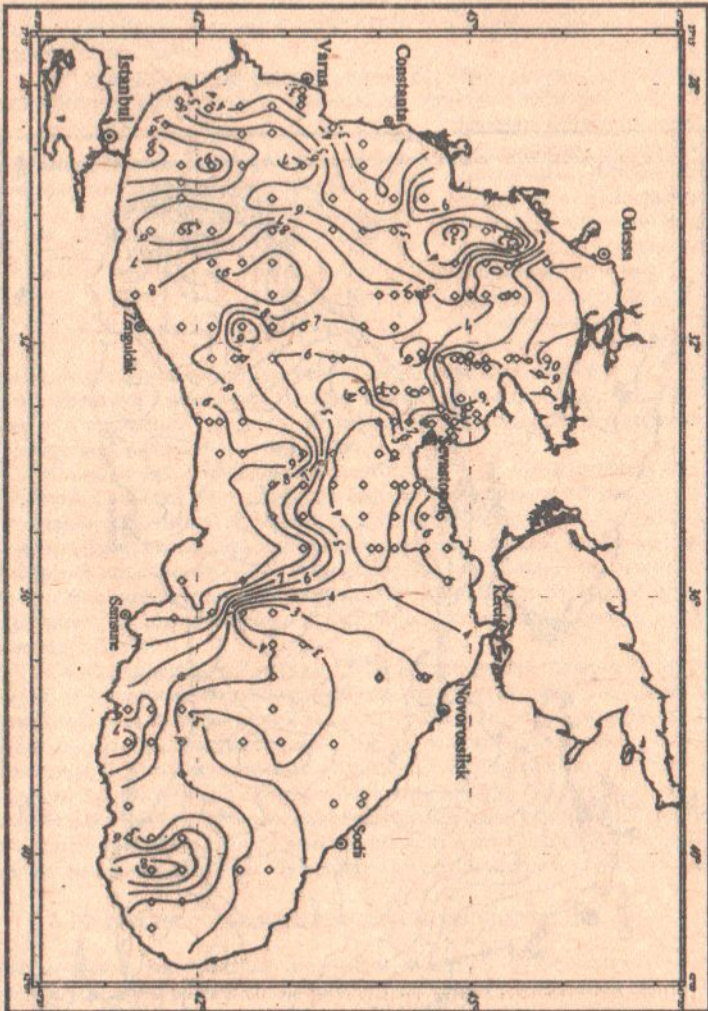
2. Многолетняя динамика численности фитопланктона

Рассмотрение многолетней динамики численности фитопланктона играет первоочередную роль в понимании происходящих изменений прозрачности воды в море. Это видно из следующего. Прозрачность морской воды зависит от содержания в ней органической (фитопланктон, детрит) и минеральной взвеси и растворенных органических соединений. Влияние этих компонентов морской воды на изменчивость ее прозрачности не одинаково для различных длин волн. При определении прозрачности воды визуально - с помощью белого диска, важна спектральная область, в которой наблюдается наименьшее ослабление света водой, так называемое окно прозрачности. Для вод Черного моря оно находится в области длин волн 500-550 нм [6, 19, 26].



Рис. 5. Климатическое распределение глубины видимости белого диска (в метрах) за период 1922-1980 гг.

Рис. 6. Распределение глубины видимости белого диска (в метрах) в июле 1992 г.



Согласно [27], в данной спектральной области более 90 % вклада в дисперсию показателя дает органическая взвесь.

При исследовании многолетней динамики фитопланктона мы ограничились западной глубоководной частью моря, по которой имеется наибольшее количество наблюдений. Так как численность фитопланктона имеет сезонный ход, то для лучшей сопоставимости были использованы данные, полученные в относительно стабильный период развития фитоценза - с мая по сентябрь. В этот период продукция фитопланктона в море минимальна и не испытывает резких колебаний [2, 3, 9]. Важно отметить, что основная масса водорослей в это время сконцентрирована в верхнем перемешанном слое моря, располагающемся над сезонным термоклином, т.е. до глубин ~15-20 м. В таблице 4 и на рис. 7 приведены данные по численности фитопланктона в эфотическом слое для глубоководной области западной части моря в мае - сентябре с 1951 по 1992 год.

Таблица 4
Средняя численность фитопланктона в эфотическом слое западной части Черного моря

Год	Месяц	Численность млн кл·м ⁻³
1951	август	27
1958	август	10.6
1960	июнь	17.2
1962	октябрь	23.9
1969	май	16.9
1970	сентябрь	8.4
1972	август	20.8
1987	сентябрь	63
1989	июль-август	1445
1990	май	1400
1991	июнь-август	688
1992	июль	1400

В 1951-1972 гг численность фитопланктона колебалась в пределах 8,4 - 27 млн кл·м⁻³, т.е. была довольно стабильной. Для ориентировочной оценки динамики фитопланктона в период с 1973 по 1986 г., по которому данных нет, воспользуемся концентрацией хлорофилла. По данным работы [3], содержание хлорофилла "а" в слое фотосинтеза в западной глубоководной области моря в мае - сентябре в период 1964-1978 гг было относительно постоянным и в среднем составило 0,18 мг·м⁻³. В начале 80-х годов содержание хлорофилла значительно возросло и за 1980-1984 гг этот показатель был равен 0,31 мг·м⁻³. По нашим данным за 1980-1984 гг получена такая же средняя величина хлорофилла в слое фотосинтеза - 0,32 мг·м⁻³. Таким образом, можно считать, что до конца 70-х годов численность фитопланктона оставалась на относительно невысоком стабильном уровне и стала увеличиваться в начале 80-х годов.

Годы с 1987 по 1992, в течение которых произошло необычное снижение прозрачности воды в море, удачно освещены ежегодными (кроме 1988 г) измерениями концентрации фитопланктона, определением его видового и размерного состава. В 1987 г численность заметно увеличилась по сравнению с предыдущими годами и составила в слое 0-75 м $6,3 \cdot 10^7$ кл·м⁻³. После 1987 г она резко возросла и в 1989-1992 гг была в пределах $6,9 \cdot 10^8$ - $1,4 \cdot 10^9$ кл·м⁻³.

Столь высокая концентрация фитопланктона после 1987 г возникла благодаря массовому развитию довольно мелкой (5-12 мкм в диаметре) кокколитофориды *Emiliania huxleyi*, N.h. (Loth.) Hay a. Mohler, численность которой на отдельных горизонтах достигала $4 \cdot 10^9$ кл·м⁻³. Ее количество иногда составляло до 96% всего фитопланктона.

Следует отметить, что кокколитофориды долгое время считались редкими видами для Черного моря. Вспышки в развитии кокколитофорид в открытом море впервые были отмечены в начале 50-х годов [25]. Впоследствии



Рис. 9. Распределение средней численности фитопланктона (млн. клт·м^{-3}) в слое 0-20 м в северной части моря в июле 1992 г.

На рис. 9 приведено распределение средней численности фитопланктона в верхнем перемешанном слое в северной части моря летом 1992 г. Сравнение его с рис. 6 объясняет главные особенности распределения прозрачности воды, наблюдавшиеся в это время в Черном море - они определялись распределением численности микроводорослей. Обращает внимание локальная область необычно высокой концентрации фитопланктона ($10^{10} \text{ клт·м}^{-3}$, 96% кокколитофориды), в восточной части моря в районе между Сочи и Туапсе. Прозрачность воды здесь составляла 2 м.

3. Факторы, обусловившие рост численности фитопланктона в Черном море в 80-е годы

Рост численности фитопланктона в глубоководных районах моря, начавшийся в 80-е годы, связывают с эвтрофикацией его вод, вызванной поступлением в море различными путями больших количеств биогенных веществ антропогенного происхождения. Основное их количество приносится в море с водами рек (Дунай, Днепр, Днестр и др.), протекающих через районы с большой плотностью населения, высоким уровнем индустриализации и интенсивным сельскохозяйственным производством с применением химических удобрений. По данным [33] содержание нитритов, нитратов и фосфатов в стоке рек в северо-западную часть моря к началу 80-х годов увеличилось по сравнению с 1958-1959 гг в 5-6 раз. В работе [8] приводятся такие цифры: концентрация нитратов в водах Дуная была на уровне 12 мкг ат·л⁻¹ в 50-е годы, 68 мкг ат·л⁻¹ в 80-е и 50-136 мкг ат·л⁻¹ в 1987-1988 гг. Среднегодовое поступление в море фосфатов с речным стоком в 1981-1985 гг более 50 тыс.т [32] значительно превышало их поступление в 50-х годах из глубинных вод 13-17,6 тыс.т [10, 11] и с речным стоком 16,7 тыс.т [1].

В результате поступления в море огромных количеств биогенных веществ на северо-западном шельфе, куда происходит основной сток рек, уже в 70-х годах было отмечено возрастание в 5-10 раз биомассы фитопланктона по сравнению с 50-60-ми годами, а в начале 80-х годов здесь регистрировались еще более высокие ее величины - до 20 раз больше "нормы" прежних лет [29]. В начале 80-х годов антропогенная эвтрофикация вод стала проявляться и в центральных районах моря - продукция фитопланктона и содержание хлорофилла возросли здесь примерно в два раза [3].

Со второй половины 80-х годов кроме антропогенного фактора большое влияние на состояние фитоценоза в море оказал желтетый вселенец - гребневик *Mnemiopsis leidyi* Mayer. Впервые в Черном море *Mnemiopsis* был обнаружен в 1982 г [28]. Занесен сюда он, по-видимому, с балластными водами судов, приходивших в Черное море из Атлантического океана от побережья США, где этот вид обитает в распресненных водах лагун и эстуариев. Подходящие условия обитания (низкая соленость вод Черного моря) и отсутствие жесткой конкуренции со стороны автохтонной фауны способствовали быстрому росту численности *Mnemiopsis* - уже летом 1989 г его биомасса в море составила около 1 млрд. тонн [35].

Mnemiopsis является хищным пелагическим животным длиной 10-13 см. Состав пищи - планктонные животные с размерами от сотен микрон (инфузории) до 10-15 мм (крупные калианусы, сагитты, личинки рыб). Преимущественная область обитания - воды верхнего перемешанного слоя моря до термоклина.

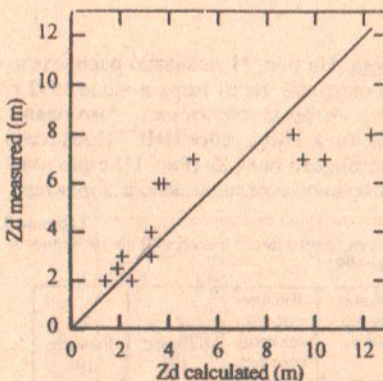


Рис. 12. Соотношение между вычисленными и наблюдаемыми величинами Z_d в июле 1992 г. Сплошной линией показана идеальная регрессия, когда Z_d измеренное = Z_d рассчитанное.

вались не реальные величины концентрации желтого вещества и терригенных частиц, а их средненесмоголетние значения. Возможно есть еще какие-то другие факторы, не учитываемые в модели.

5.2. Спектральное распределение показателя ослабления света. На рис. 13 представлены функции $\varepsilon(\lambda)$, измеренные в пробах воды лабораторным прозрачномером [20] и рассчитанные по модели. Верхняя пара кривых относится к культуре фитопланктона *Emiliania huxleyi*, выращенной в лабораторной установке, нижняя пара - к пробе морской воды, взятой в западной глубоководной части моря во время 33-го рейса НИС "Профессор Колесников" в марте 1995 г.

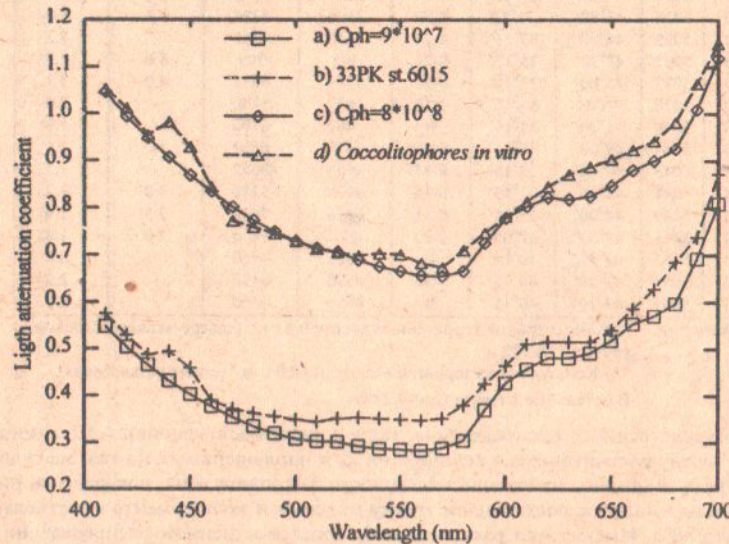


Рис. 13. Измеренные и рассчитанные функции спектрального распределения показателя ослабления.

Нижняя пара кривых - биологические и оптические измерения в 33-м рейсе НИС "Профессор Колесников": (a) - модель при параметрах: $C_{\text{ф}}=6 \cdot 10^7 \text{ кл} \cdot \text{м}^{-3}$, $C_{\text{ок}}=2,4 \cdot 10^8 \text{ шт} \cdot \text{м}^{-3}$, $C_{\text{жв}}=0,6 \text{ г} \cdot \text{м}^{-3}$, $C_{\text{тр}}=0,2 \text{ г} \cdot \text{м}^{-3}$, (b) - эксперимент. Глубина видимости белого диска на станции была 15 м, рассчитанная по формуле (16) - 17,2 м.

Здесь можно констатировать хорошее согласие экспериментальных и теоретических функций $\varepsilon(\lambda)$. Во всех модельных расчетах: $C_{\text{жв}}=0,6 \text{ г} \cdot \text{м}^{-3}$, $C_{\text{тр}}=0,2 \text{ г} \cdot \text{м}^{-3}$.

Следует сделать замечание по модельной функции $\varepsilon(\lambda)$ для лабораторной культуры кокколитофорид. При ее расчетах концентрация желтого вещества и терригенных частиц принята такой же, как и в море, так как культура выращивалась в морской воде, которая была отфильтрована только на крупную взвесь. Терригенные частицы имеют небольшие размеры (менее 1-2 мкм) и фильтром они, также как и растворенное в воде желтое вещество, не улавливались.

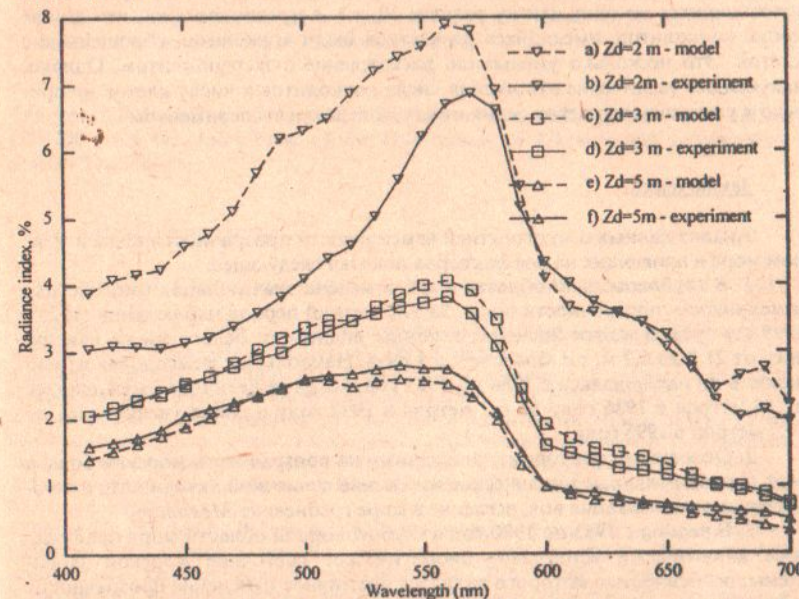


Рис. 14. Измеренные и рассчитанные функции спектрального распределения коэффициента яркости моря:

- 1) $Z_d=2 \text{ м}$, (a) - расчет по модели: $C_{\text{ф}}=1 \cdot 10^{10} \text{ кл} \cdot \text{м}^{-3}$, $C_{\text{ок}}=3 \cdot 10^{11} \text{ шт} \cdot \text{м}^{-3}$,
(b) - эксперимент;
- 2) $Z_d=3 \text{ м}$, (c) - расчет по модели: $C_{\text{ф}}=3,6 \cdot 10^9 \text{ кл} \cdot \text{м}^{-3}$, $C_{\text{ок}}=4,5 \cdot 10^{10} \text{ шт} \cdot \text{м}^{-3}$,
(d) - эксперимент;
- 3) $Z_d=5 \text{ м}$, (e) - расчет по модели: $C_{\text{ф}}=1,4 \cdot 10^9 \text{ кл} \cdot \text{м}^{-3}$, $C_{\text{ок}}=1,3 \cdot 10^{10} \text{ шт} \cdot \text{м}^{-3}$,
(f) - эксперимент.

5.3. Спектральное распределение коэффициента яркости моря. Экспериментальные функции $\rho(\lambda)$, представленные на рис. 14, измерены прибором [38] в июле 1992 г на НИС "Профессор Колесников" (29-й рейс), работавшем в тех же районах, в которых производились биологические наблюдения на НИС "Профессор Водяницкий" (37 рейс). При расчетах взяты величины численности фитопланктона на станциях наиболее близко расположенных к районам измерений.

14. Иванов А.П. Физические основы гидрооптики //Минск, "Наука и техника", 1975, 503 с.
15. Ковалев А.В., Мельников В.В., Островская Н.А., Прусова И.Ю. Макропланктон //Планктон Черного моря. Киев: "Наукова Думка". 1993. С. 183-193.
16. Корнеева Г.А., Шиганова Т.А. Влияние желтебелых организмов на формирование пуль нейтральных протеаз в морской воде //Океанология. 1995. Т. 35, № 1. С. 82-87.
17. Кочерга Ю.П., Чеберкус В.И., Альтман Э.И. Прогнозирование взаимосвязанных процессов //Автоматика. 1985, № 6. С.74-79.
18. Книпович Н.М. Гидрологические исследования в Черном море //Тр. Азовско-Черноморской научно-промышленной экспедиции. Вып.10, М. 1932, 272 с.
19. Левин И.М., Николаев В.П. Об оценке вертикального ослабления квантовой облученности в области фотосинтетически активной радиации в Черном море //Океанология. 1992. Т. 32, № 2 & С. 240-245.
20. Маньковский В.И., Кайгородов М.Н. Лабораторный автоколлимационный прозрачномер с переменной базой //Автоматизация научных исследований морей и океанов. Севастополь. МГИ АН УССР, 1980. С. 91-92.
21. Маньковский В.И., Земляная Л.А. Связь глубины видимости белого диска с показателем ослабления света для вод Черного моря //Комплексные океанологические исследования Черного моря. Севастополь. МГИ НАНУ. 1989. С. 82-85.
22. Маньковский В.И., Соловьев М.В., Владимиров В.Л. Эволюция гидрооптических характеристик Черного моря в 1922-1992 гг //Комплексные океанологические исследования Черного моря. Севастополь. МГИ НАНУ. 1995. С. 172-189.
23. Маньковский В.И. Морской импульсный нефелометр //Приборы для научных исследований и системы автоматизации в АН УССР. Киев. "Наукова Думка", 1981. С. 87-89.
24. Маньковский В.И. Спектральная изменчивость коэффициента асимметрии индикаторы рассеяния света морской водой //Океанология. 1984. Т. 24, вып. 1. С. 63-69.
25. Морозова-Водяницкая Н.В., Белогорская Е.В. О значении кокколитофорид и особенно понтосферы в планктоне Черного моря //Труды Севастопольской биологической станции, 1957. т. IX, с.14-22.
26. Николаев В.П., Сасин В.Д. Особенности оптической структуры вод Черного моря в феврале - марте 1991 г //Геленджик. ЮО ИО РАН. 1992. Деп. ВИНИТИ, № 1306-В92. 35 с.
27. Оптика океана. Т. 1. Физическая оптика океана //М: Наука, 1983. С. 114-229.
28. Переладов М.В. Некоторые наблюдения за изменением биоценозов Судакского залива //Тез. 3-й Всеоюзн. конф. по морской биологии (Севастополь), Киев, 1988. Ч. 1. С. 237-238.
29. Практическая экология морских регионов. Черное море //Киев, "Наукова Думка", 1990, гл. 8. С. 192-200.
30. Практическая экология морских регионов. Черное море //Киев, "Наукова Думка", 1990, гл. 7. С. 183-187.
31. Раймонт Дж. Планктон и продуктивность океана. Фитопланктон М. "Легкая и пищевая промышленность", 1983. Т. 1. 568 с.
32. Рябинин А.И., Кравец В.Н., Губанов В.И. и др. Гидрокимические условия. Черное море //Гидрометеорология и гидрохимия морей СССР. М. Гидрометеоиздат, 1990. Т. 4. Вып. 2. 557 с.
33. Фашук Д.Я., Шапоренко С.И. Загрязнение прибрежных вод Черного моря: источники, современный уровень, методовая изменчивость //Водные ресурсы. М. Наука. 1995. Т. 22, № 3. С. 237-281.
34. Шифрин К.С., Салгания И.Н. Таблицы по светорассеянию. Рассеяние света модельми морской воды //Гидрометеоиздат. Л. 1973. Т. 5. 218 с.
35. Шушкина Э.А., Мусаева Э.И. Структура планктонного сообщества эпипелагиали Черного моря и ее изменение в связи с внесением нового вида гребневика //Океанология. 1990. Т. 30. Вып. 2. С. 324-328.
36. Шушкина Э.А., Виноградов М.Е. Многолетние изменения биомассы планктона в открытых районах Черного моря //Океанология. 1991. № 6. С. 973-980.
37. Balch W.M., Holligan P.M., Ackson S.G., Voss K.I. Biological and optical properties of mesoscale coccolithophore blooms in the Gulf of Mane //Limnol. and Oceanogr., 1991, 36 (4). P. 629-643.
38. Gordon H.R., Brown O.B., Diffuse reflectance of the ocean: some effects of vertical structure //Appl. Opt., 1975, V.14, N12. P. 2892-2895.
39. Lee M.E., Martynov O.V. The Hydrooptical instruments for undersatellite investigation //Proc. of the Third Thematic Conference on Remote Sensing for Marine and Coastal Environments. Seattle, 1995.
40. Morel A., Prieur L. Analysis of variations in ocean color //Limnol. and Oceanogr., 1977, V. 22, N 4. P. 709-722.
41. Multu E., Bingel F., Gucu A.C., Melnikov V.V., Nierman U., Ostrovskaya N.A. and Zaika V.E. Distribution of the new invader *Mnemiopsis* sp. and the resident *Aurelia aurita* and *Pleurobrachia pileus* populations in the Black Sea in the years 1991-1993 //ICES J. mar. Sci. 51: 407-421, 1994.
42. Petrova-Karadjova V.I. Solar control upon the phytoplankton in the Black Sea //Rapport et proce's - verbaux des reunions commission internationale pour l'exploration scientifique de la mer Méditerranée. 1992. V. 33. P.265.
43. Nyquist G. Investigation of some optical properties of sea water with special reference to lignin sulfonates and humic substances //Thes. Dep. Anal. Mar. Chem. Gothenburg, 1997. P. 200.
44. Schofield O., Bidigare R.R., Prezelin B.B. Spectral photosynthesis, quantum yield and blue-green light enhancement of productivity rates in the diatom *chaetoceros gracile* and the prymnesiophyte *Emiliana huxleyi* //Marine ecology progress series. 1990. V. 64. P. 175-186.
45. Smith R.C., Baker K.S. Optical properties of the clearest natural waters (200-800 nm) //Appl. Opt. 1981. V.20. N 2. P. 177-186.

V.I. Mankovsky, V.L. Vladimirov, E.I. Afonin, A.V. Mishonov,
M.V. Solov'ev, B.E. Anninskiy, L.V. Georgieva, O.A. Yunev

**Long-term variability of the Black Sea water transparency and factors
determined its strong decrease in the late 1980s early 1990s.**

ABSTRACT

The 72-years long data series (1923-1995) of the Black Sea water transparency had been analyzed using the results of the Secchi disk depth measurements (Z_d). Some other hydrooptical (vertical profiles and spectral distribution of the attenuation coefficient, water color, radiance index) and biochemical variables (chlorophyll "a", pheophytin, primary production, particulate and dissolved matter, biomass of microzooplankton, jelly-fishes biomass; biomass, quantity and types of phytoplankton) were included in the analysis.

Transparency in the deep central part of the sea (mean annual values) during this period changed more than three times, from 21.3 to 6.2 meters. The most pronounced variability of Z_d had been found from 1986 till 1995, when the values of Z_d decreased from 16m in 1986 to 6.2m in 1992, and increased again to 17.7m in 1995.

The principal mechanisms responsible for these changes were determined using modeling, statistical processing, and analysis of the data stored in the multivariable biooptical database.

There are three main reasons responsible for the strong water transparency decrease: the 11-year cycle of solar activity, significant eutrophication occurs both in the near-shore and deep areas of the Black Sea, and the influence of the biological invader *Mnemiopsis* on the ecosystem.

The enhanced bloom of *Coccolithophores* was observed in the Black Sea during the drastic transparency decrease from 1986 to 1992. Their content in the Black Sea was more than 1.5 - 2 orders of magnitude larger than in previous years and reached 2-3 billions per cubic meter. A significant increase of this type of plankton has changed the structure of the plankton community. Now nanoplankton, which contributes immensely to the light scattering, accounts for 90% of the phytoplankton content.

Phytoplankton structure was strongly impacted by the biological invader *Mnemiopsis*, which appeared in the Black Sea in the early 1980s, and whose biomass amounted to one billion tons in 1989. As a result, the amount of herbivorous microzooplankton, which is a part of the *Mnemiopsis* food, has decreased by several times, whereas the phytoplankton content conversely, increased. The great amount of dissolved organic matter released by *Mnemiopsis* also facilitated the increase of some types of phytoplankton and bacteria.

Periodical oscillations in the long-term variability of the Black Sea water transparency have been found to occur, which correlate with the 11-year cycle of solar activity. The time lag between extrema of the transparency and solar activity is two-three years.

Model calculations of the spectral attenuation coefficient, Secchi disk depth and spectral radiance index were performed. They have confirmed that the current phytoplankton composition and concentration can explain the observed changes of water transparency.

Подписано к печати 04.09.1996

Тираж 100 Заказ 56

Отпечатано СО "ЭКОСИ-Гидрофизика"

335000, Севастополь, Ленина, 28